

Fig. 3.7. Spatial distribution of the winter maximum cumulative duration of wet spells detected based on 5 mm threshold
Distribuția spațială a duratei cumulate maxime a perioadelor ploioase din anotimpul de iarnă detectate pe baza pragului de 5mm

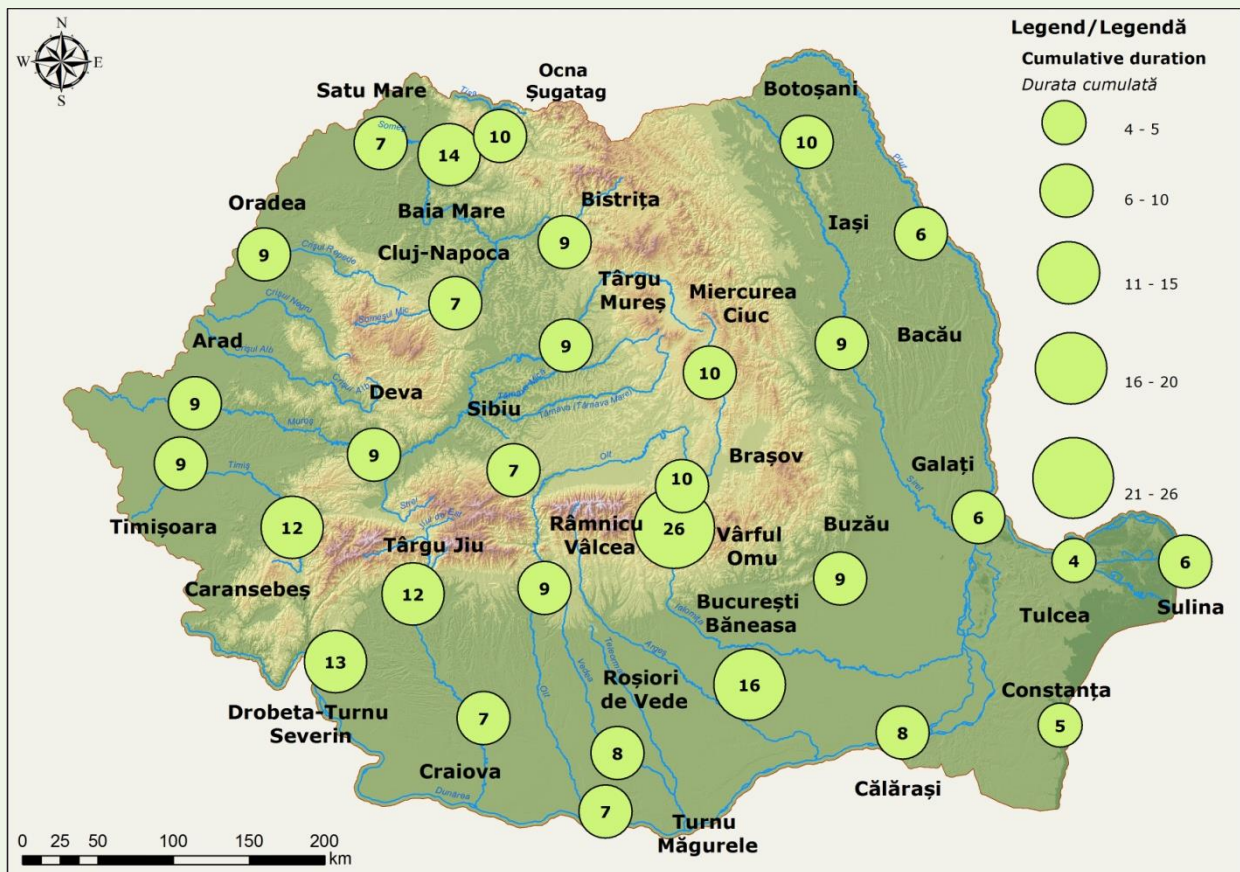


Fig. 3.8. Spatial distribution of the spring maximum cumulative duration of wet spells detected based on 5 mm threshold
Distribuția spațială a duratei cumulate maxime a perioadelor ploioase din anotimpul de primăvară detectate pe baza pragului de 5mm

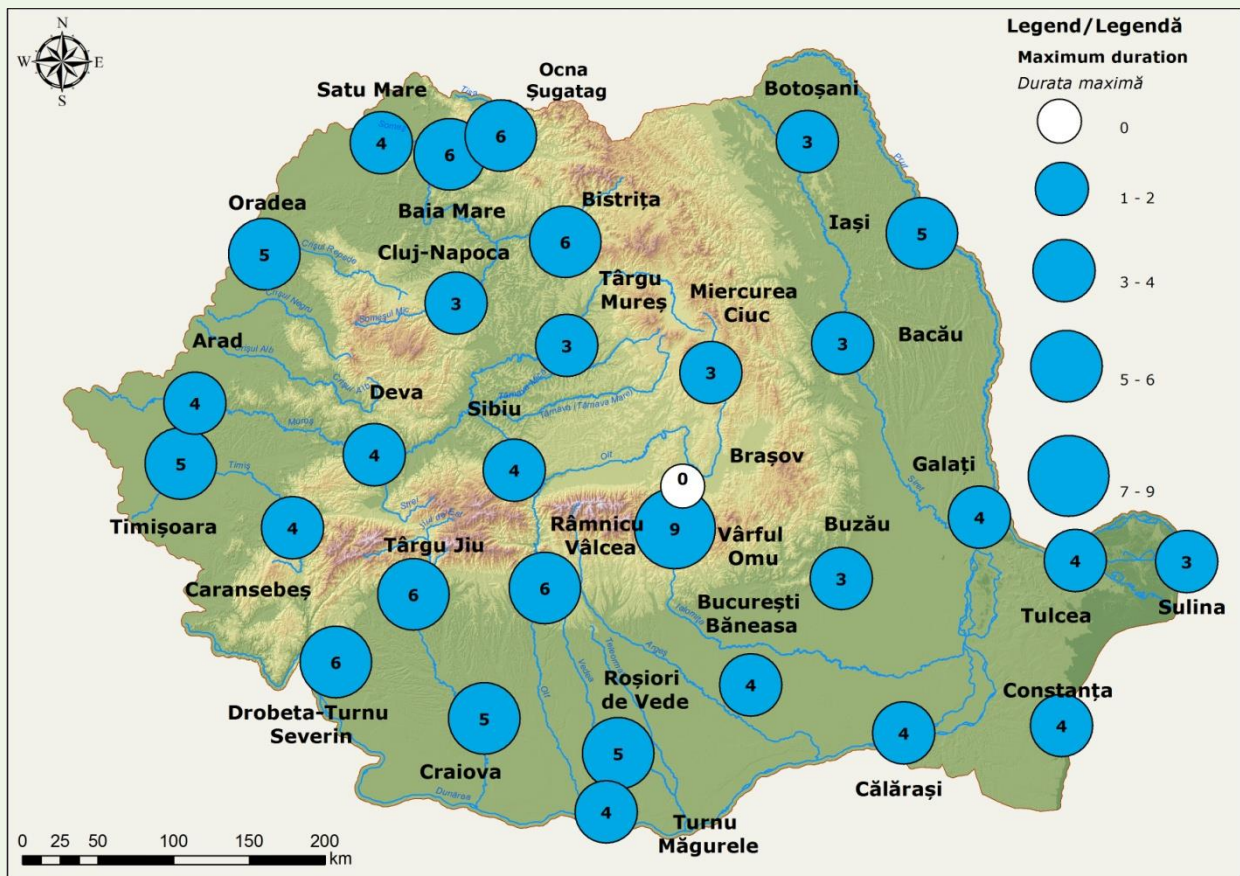


Fig. 3.9. Spatial distribution of the winter maximum duration of wet spells detected based on 5 mm threshold
Distribuția spațială a duratei maxime a perioadelor ploioase din anotimpul de iarnă detectate pe baza pragului de 5mm

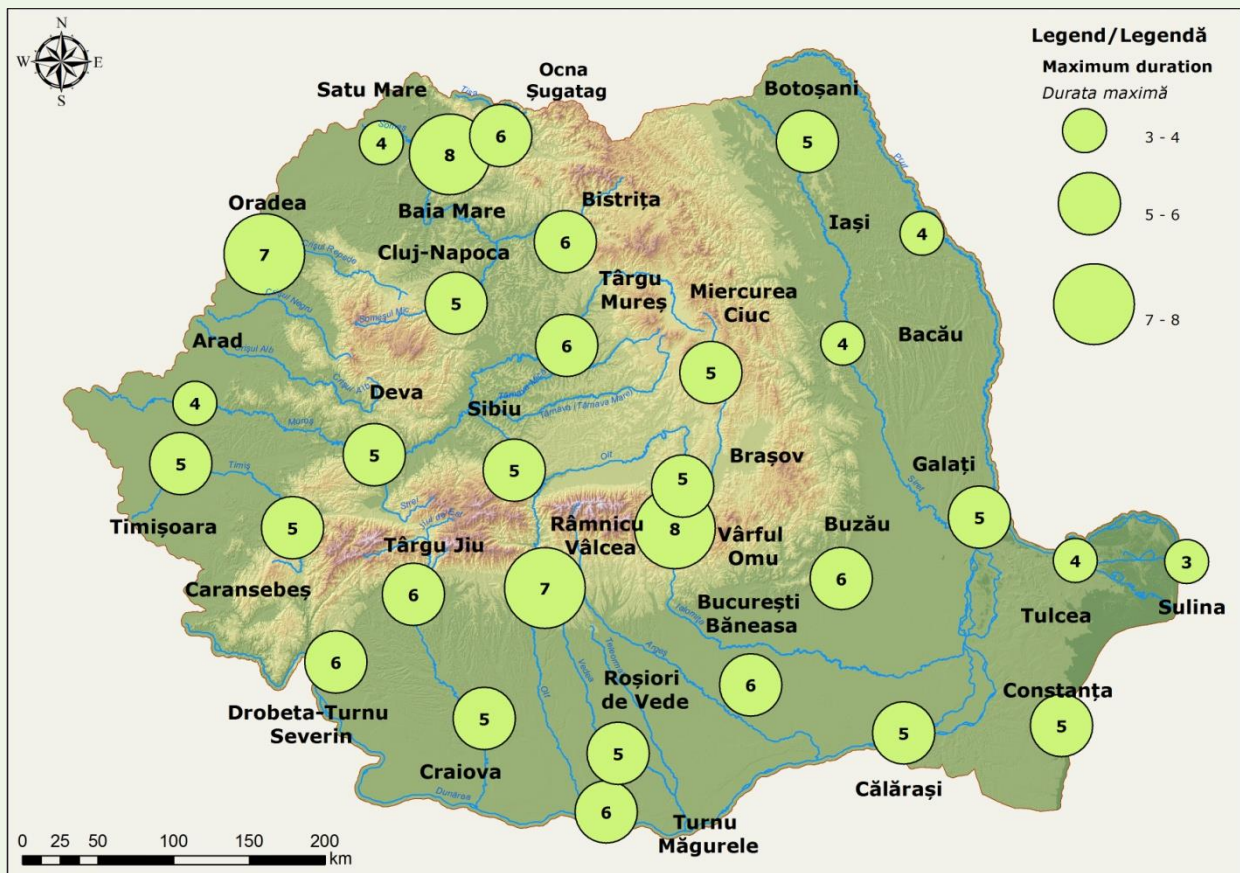


Fig. 3.10. Spatial distribution of the spring maximum duration of wet spells detected based on 5 mm threshold
Distribuția spațială a duratei maxime a perioadelor ploioase din anotimpul de primăvară detectate pe baza pragului de 5mm

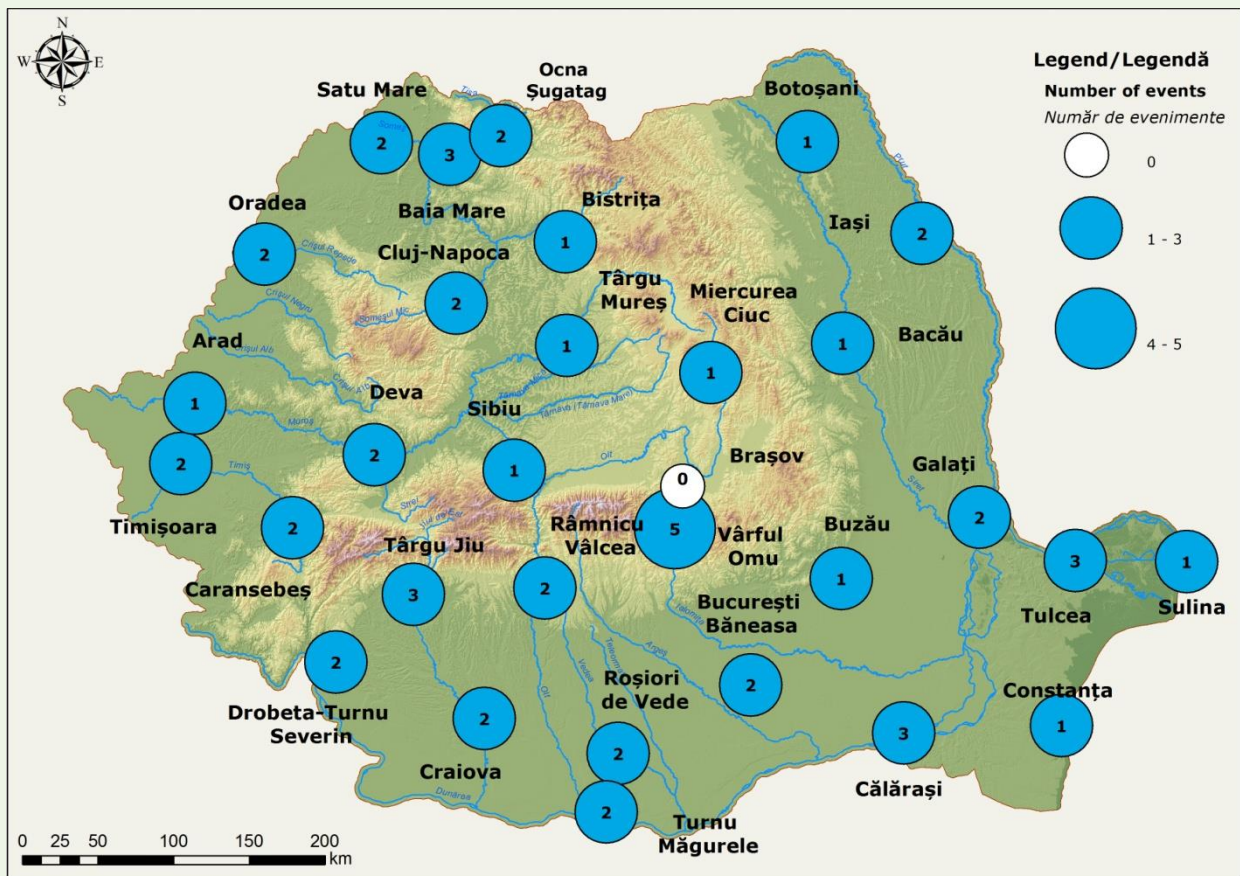


Fig. 3.11. Spatial distribution of the winter maximum number of wet spells detected based on 5 mm threshold
 Distribuția spațială a numărului maxim de perioade ploioase din anotimpul de iarnă detectate pe baza pragului de 5mm

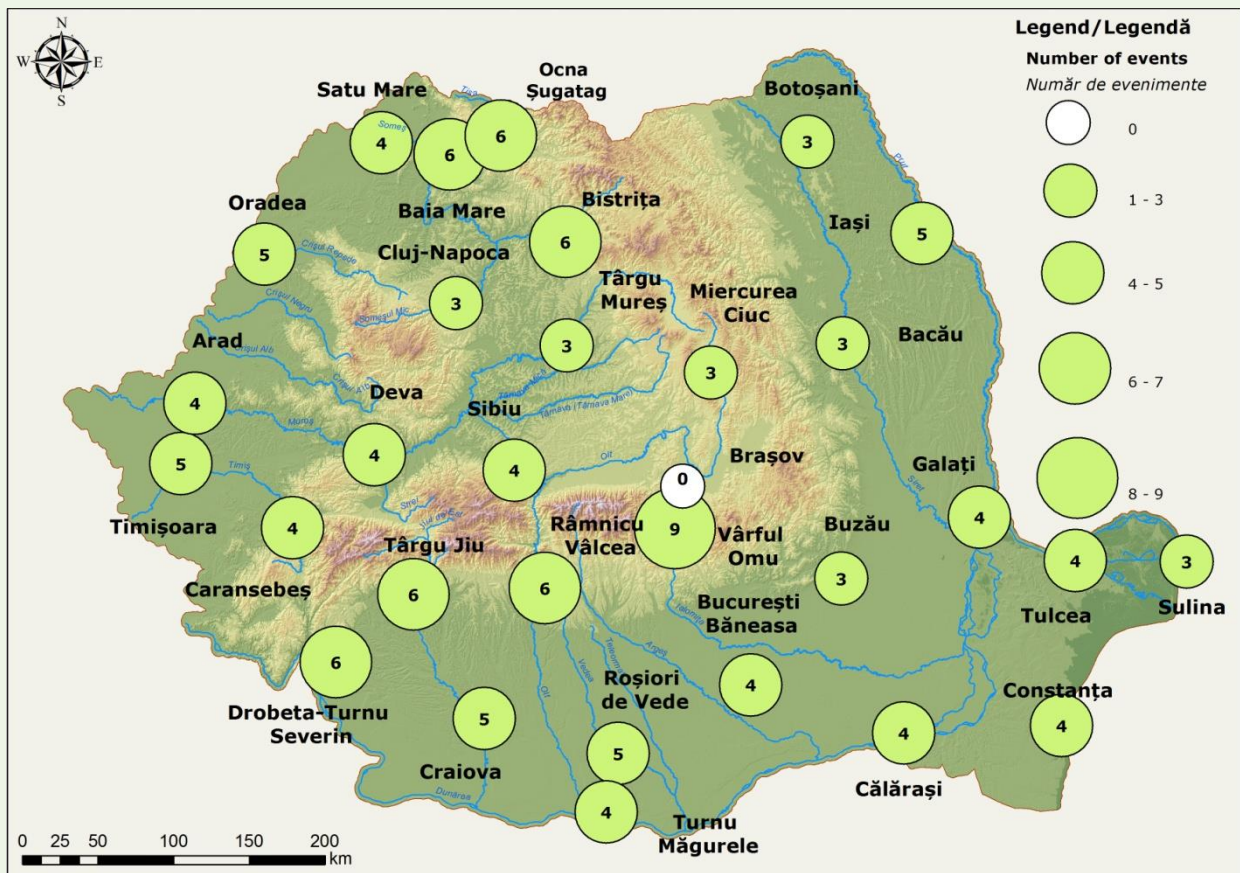


Fig. 3.12. Spatial distribution of the spring maximum number of wet spells detected based on 5 mm threshold
 Distribuția spațială a numărului maxim de perioade ploioase din anotimpul de primăvară detectate pe baza pragului de 5mm

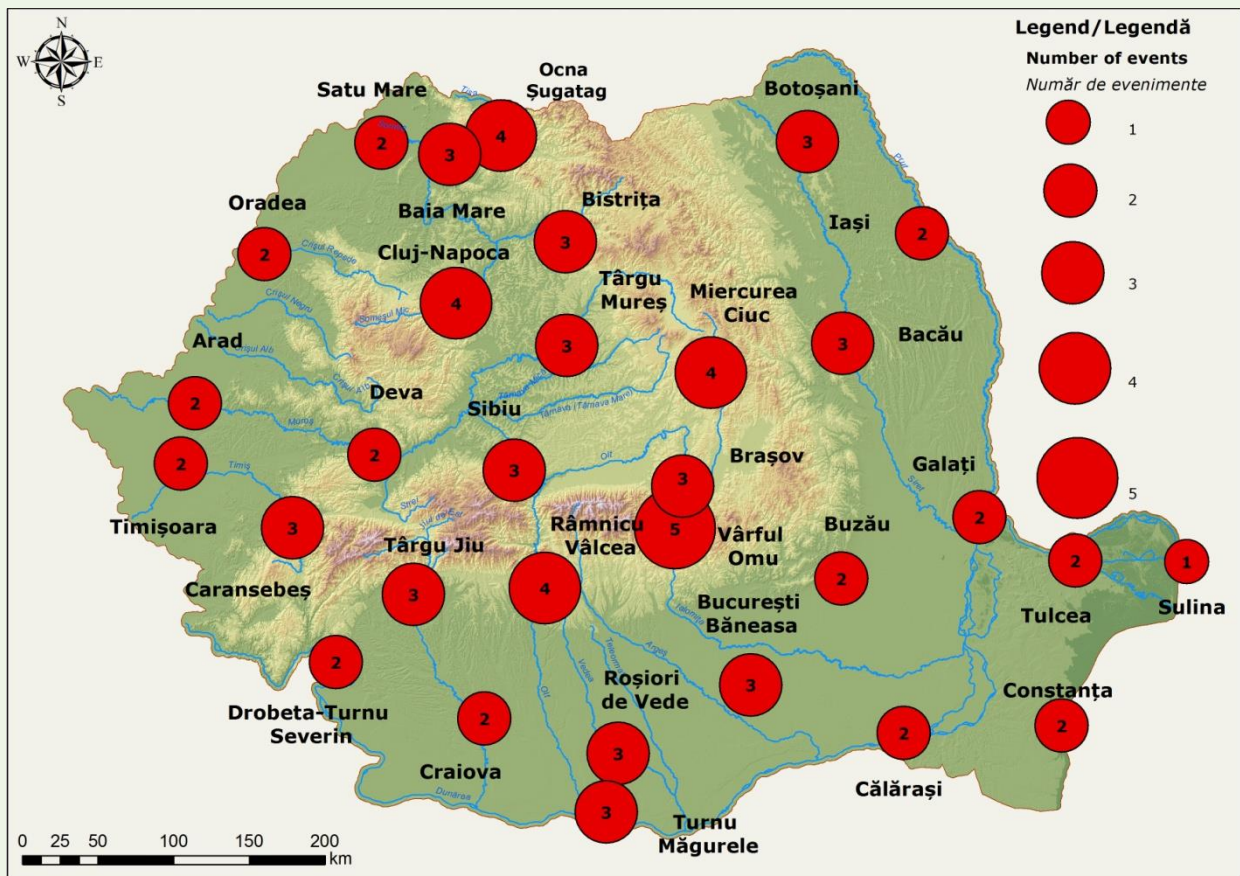


Fig. 3.13. Spatial distribution of the summer maximum number of wet spells detected based on 5 mm threshold
 Distribuția spațială a numărului maxim de perioade ploioase din anotimpul de vară detectate pe baza pragului de 5mm

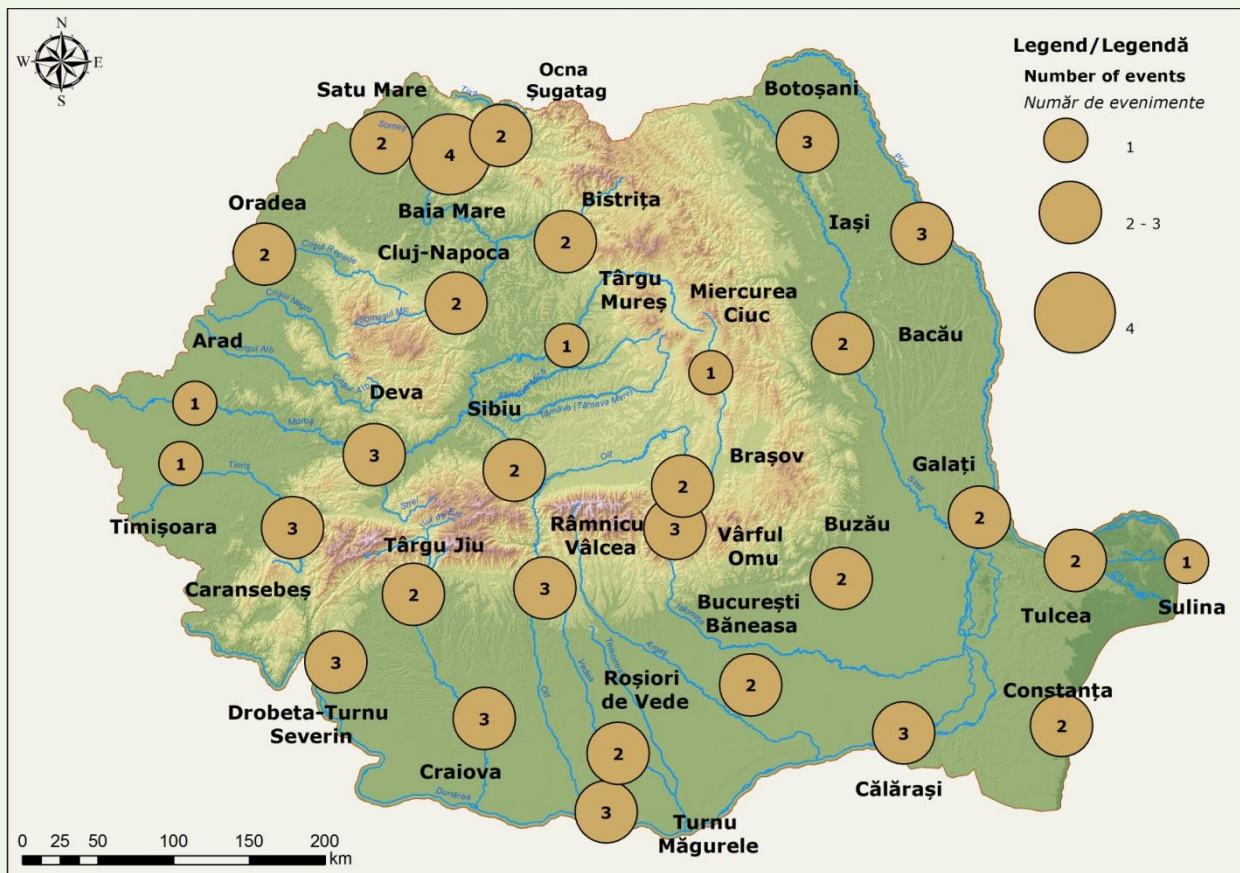


Fig. 3.18. Spatial distribution of the autumn maximum number of wet spells detected based on 5 mm threshold
 Distribuția spațială a numărului maxim de perioade ploioase din anotimpul de toamnă detectate pe baza pragului de 5mm

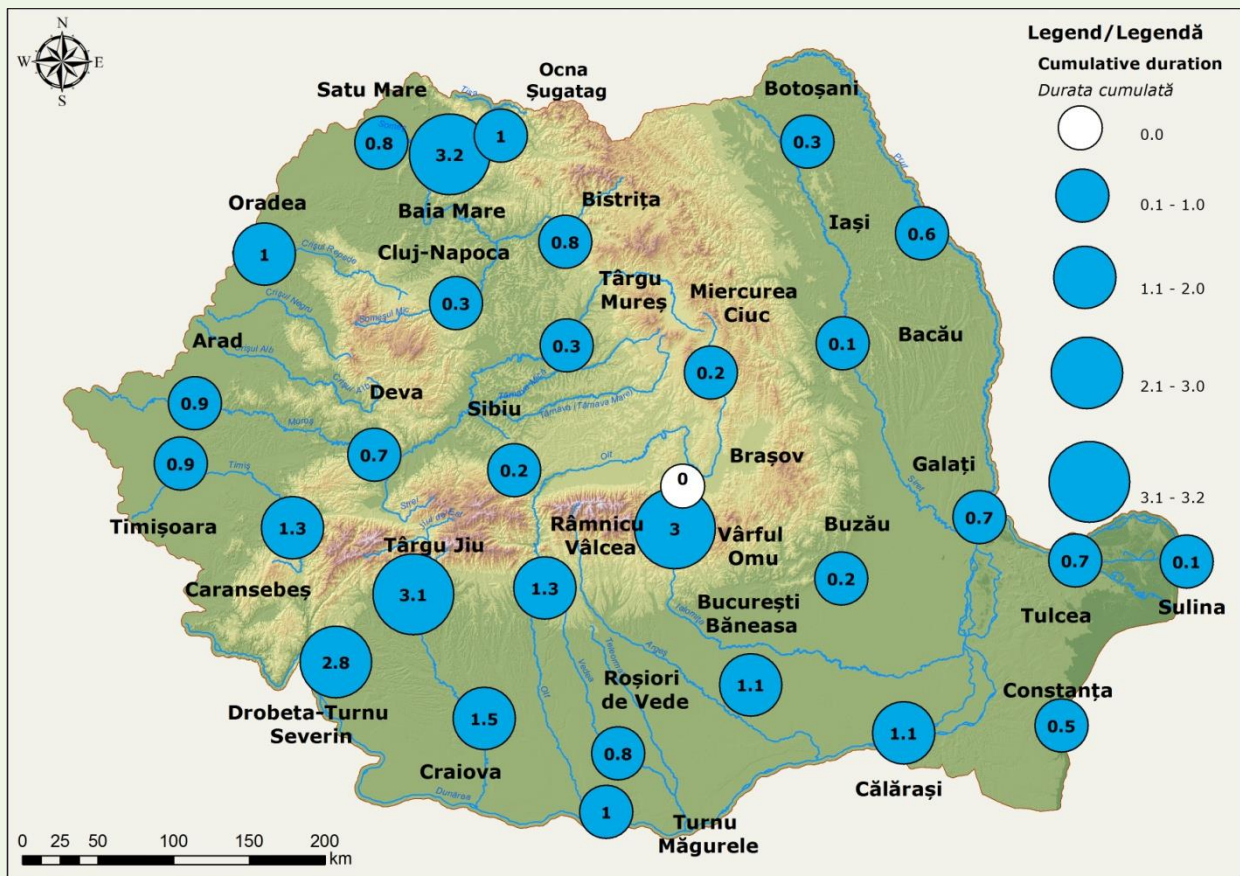


Fig. 3.7. Spatial distribution of the winter mean cumulative duration of wet spells detected based on 5 mm threshold
 Distribuția spațială a duratei cumulate medii a perioadelor ploioase din anotimpul de iarnă detectate be baza pragului de 5mm

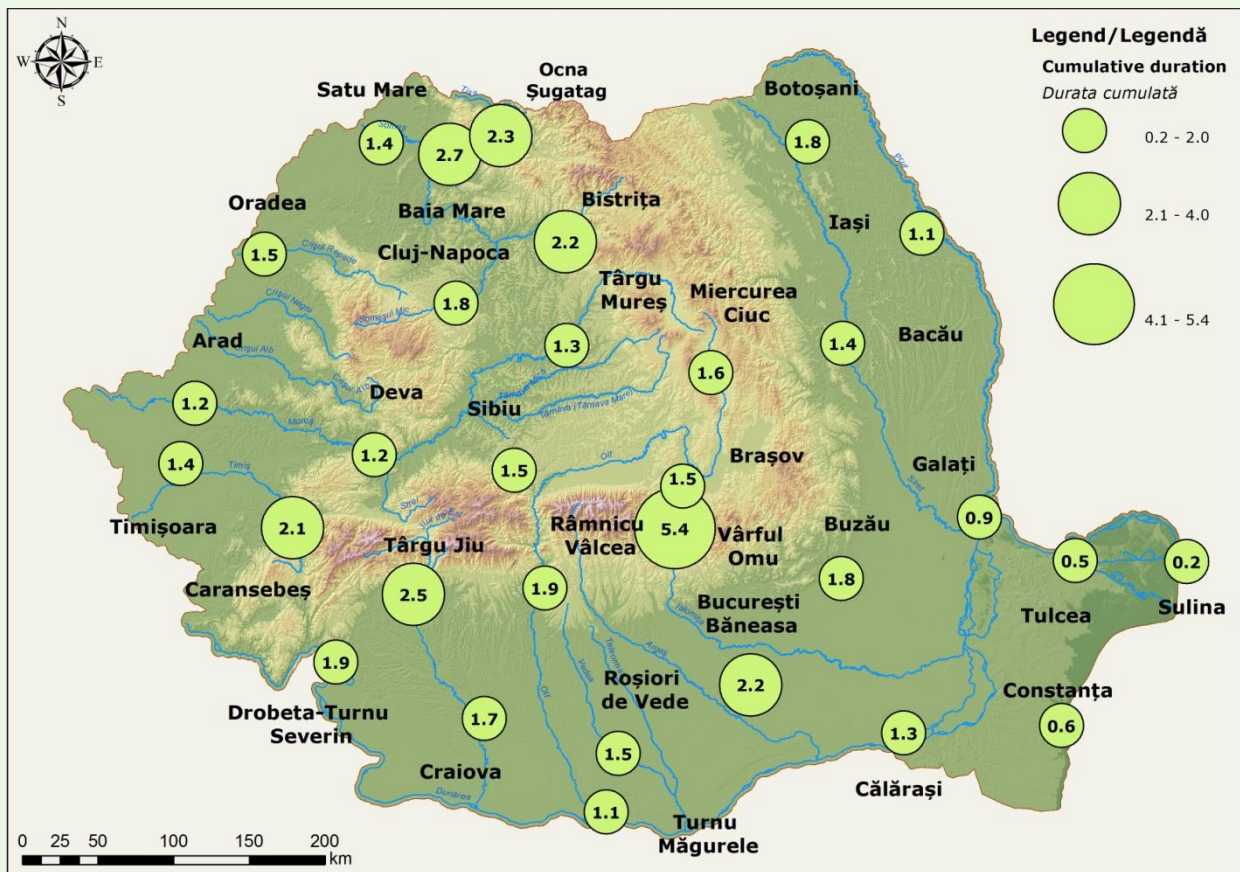


Fig. 3.8. Spatial distribution of the spring mean cumulative duration of wet spells detected based on 5 mm threshold
 Distribuția spațială a duratei cumulate medii a perioadelor ploioase din anotimpul de primăvară detectate be baza pragului de 5mm

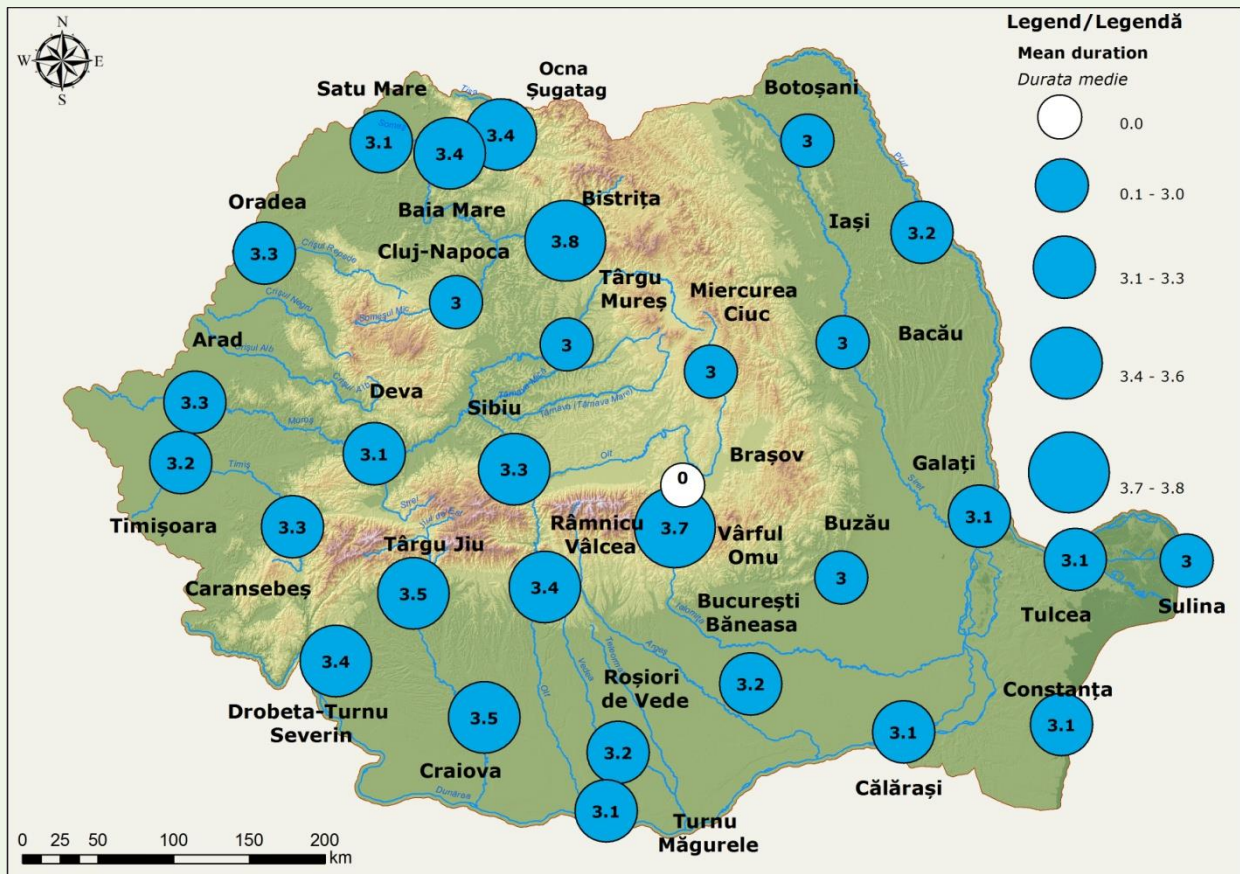


Fig. 3.11. Spatial distribution of the winter mean duration of wet spells detected based on 5 mm threshold
 Distribuția spațială a duratei medii a perioadelor ploioase din anotimpul de iarnă detectate be baza pragului de 5mm

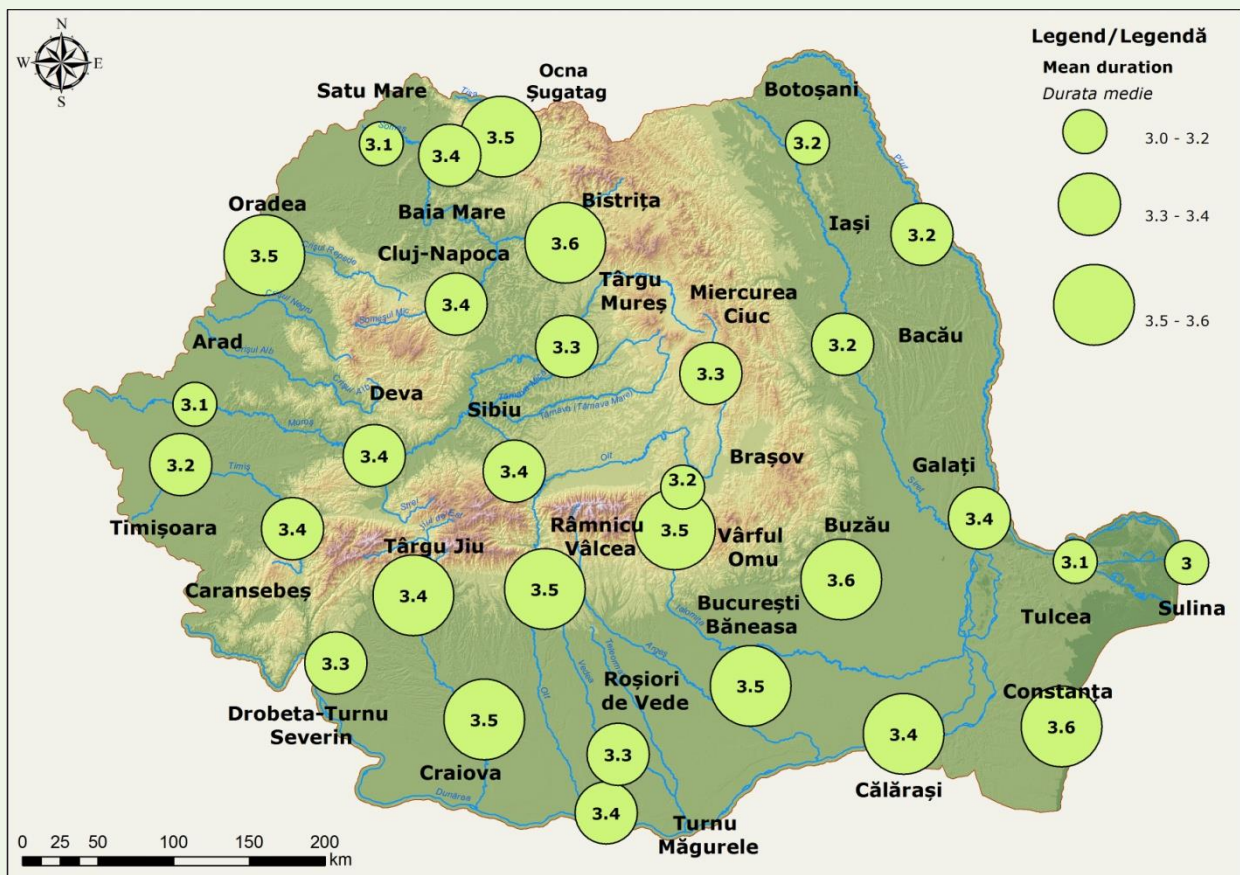


Fig. 3.12. Spatial distribution of the spring mean duration of wet spells detected based on 5 mm threshold
 Distribuția spațială a duratei medii a perioadelor ploioase din anotimpul de primăvară detectate be baza pragului de 5mm

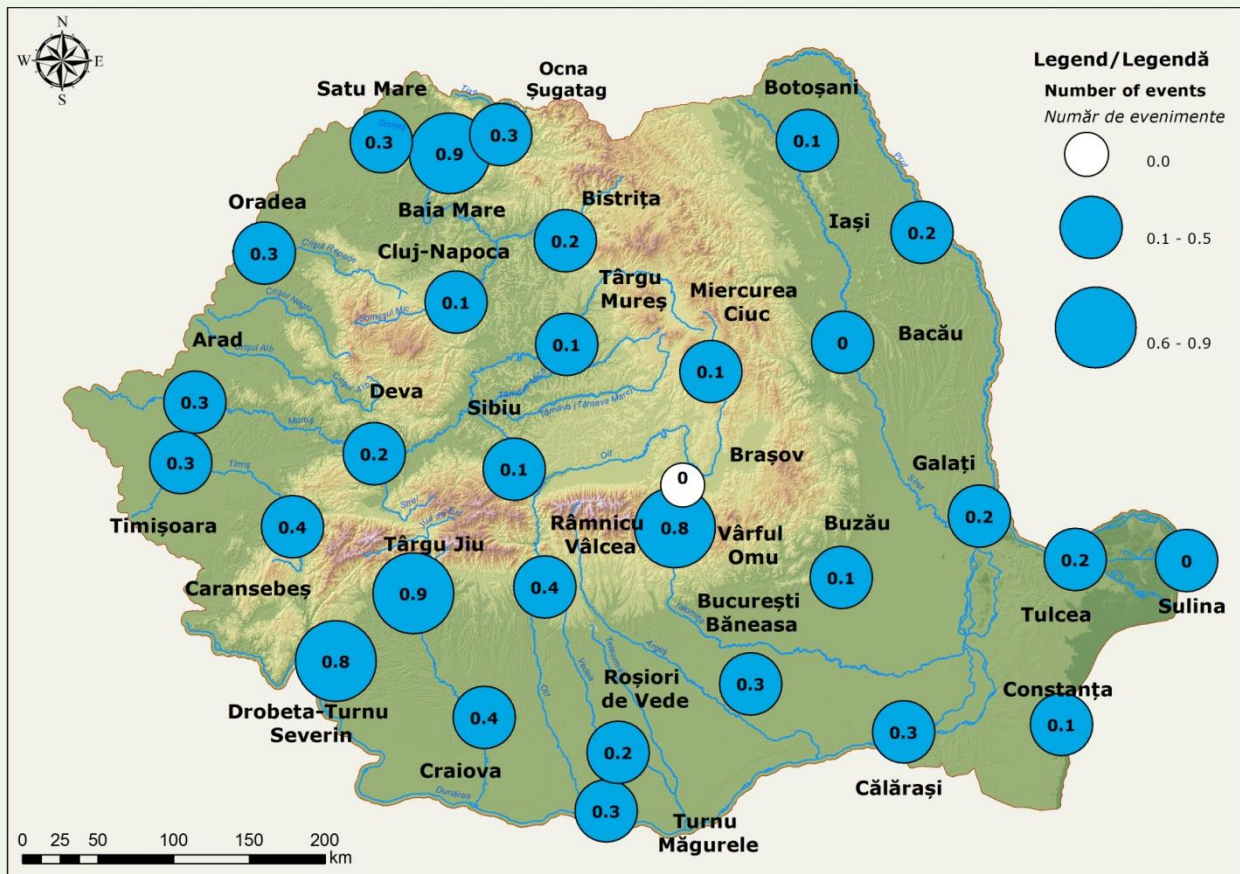


Fig. 3.15. Spatial distribution of the winter mean number of wet spells detected based on 5 mm threshold

Distribuția spațială a numărului mediu de perioade ploioase din anotimpul de iarnă detectate be baza pragului de 5mm

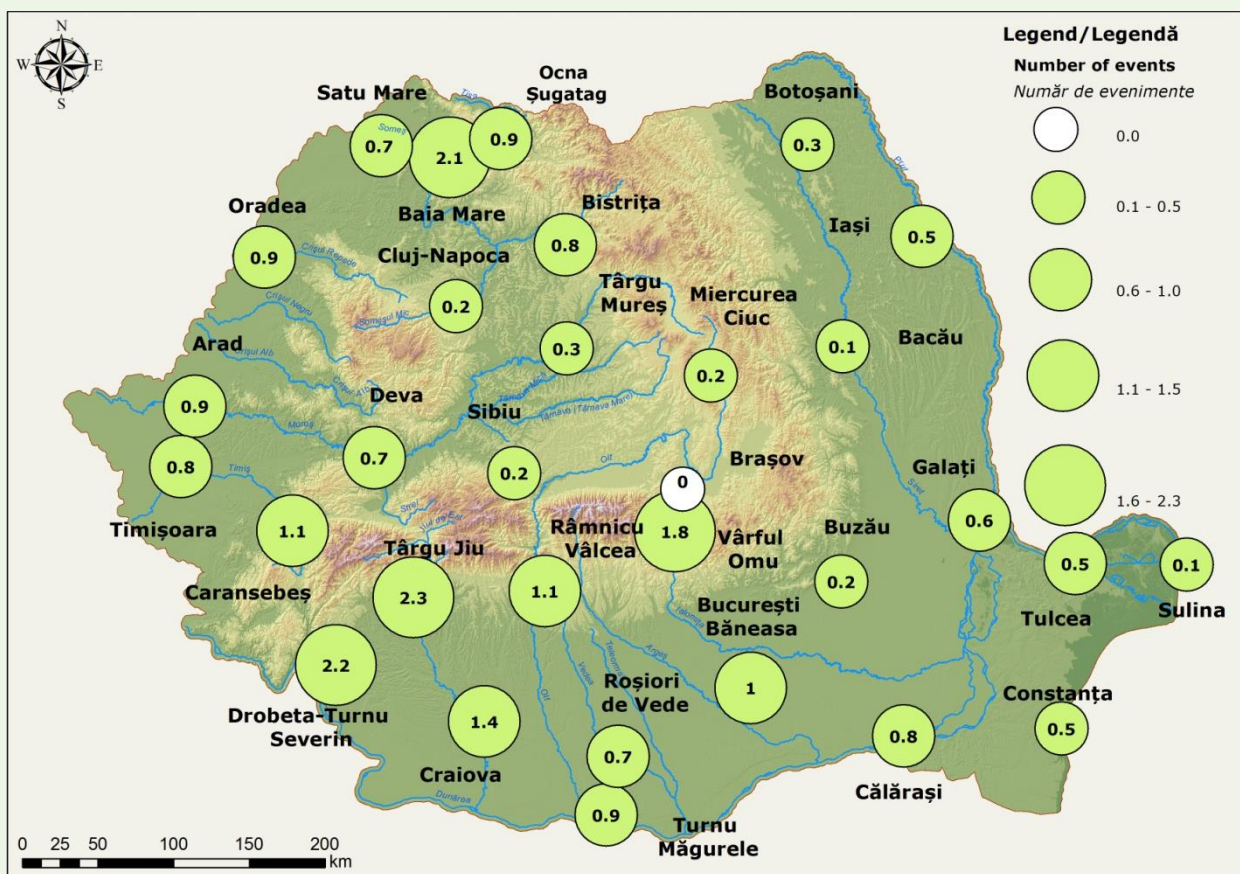


Fig. 3.16. Spatial distribution of the spring mean number of wet spells detected based on 5 mm threshold

Distribuția spațială a numărului mediu de perioade ploioase din anotimpul de primăvară detectate be baza pragului de 5mm

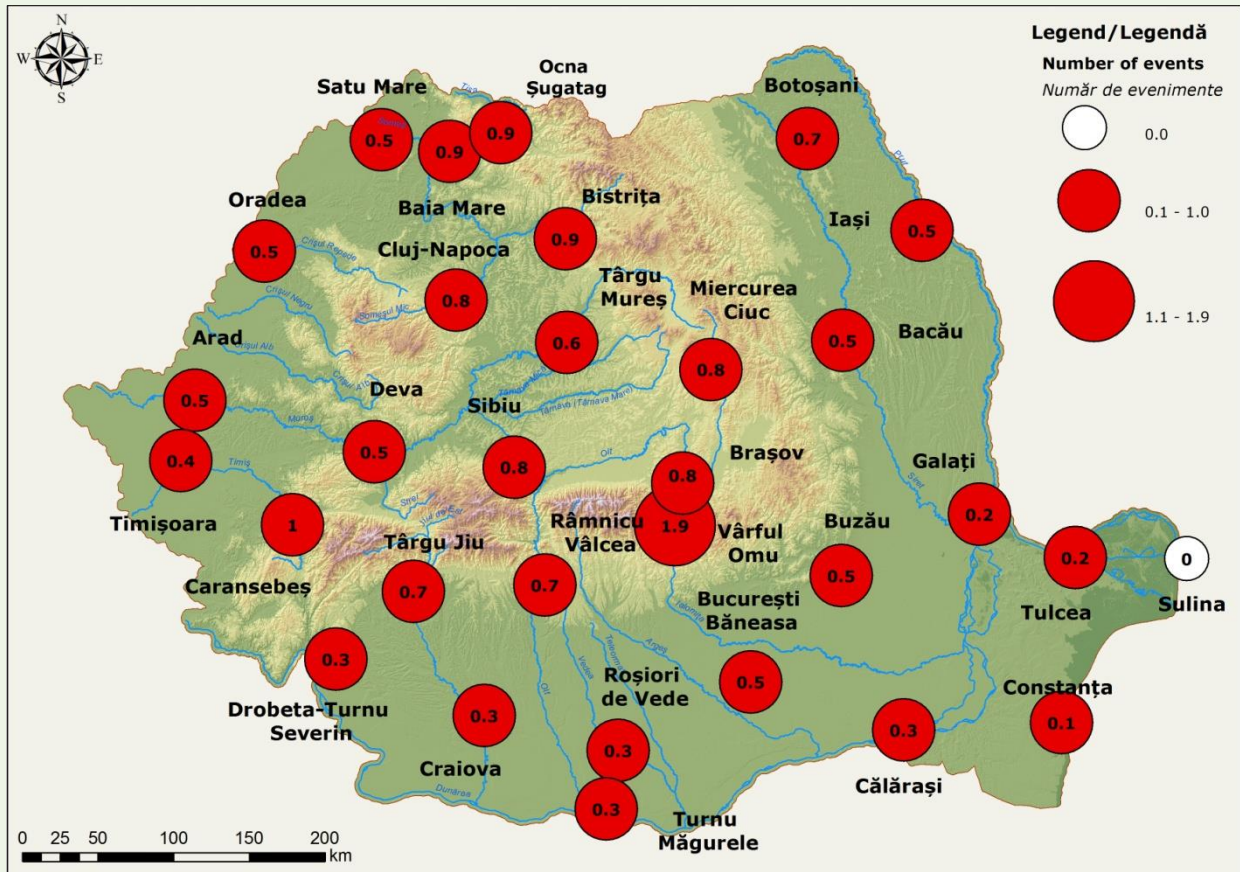


Fig. 3.17. Spatial distribution of the summer mean number of wet spells detected based on 5 mm threshold
 Distribuția spațială a a numărului mediu de perioade ploioase din anotimpul de vară detectate be baza pragului de 5mm

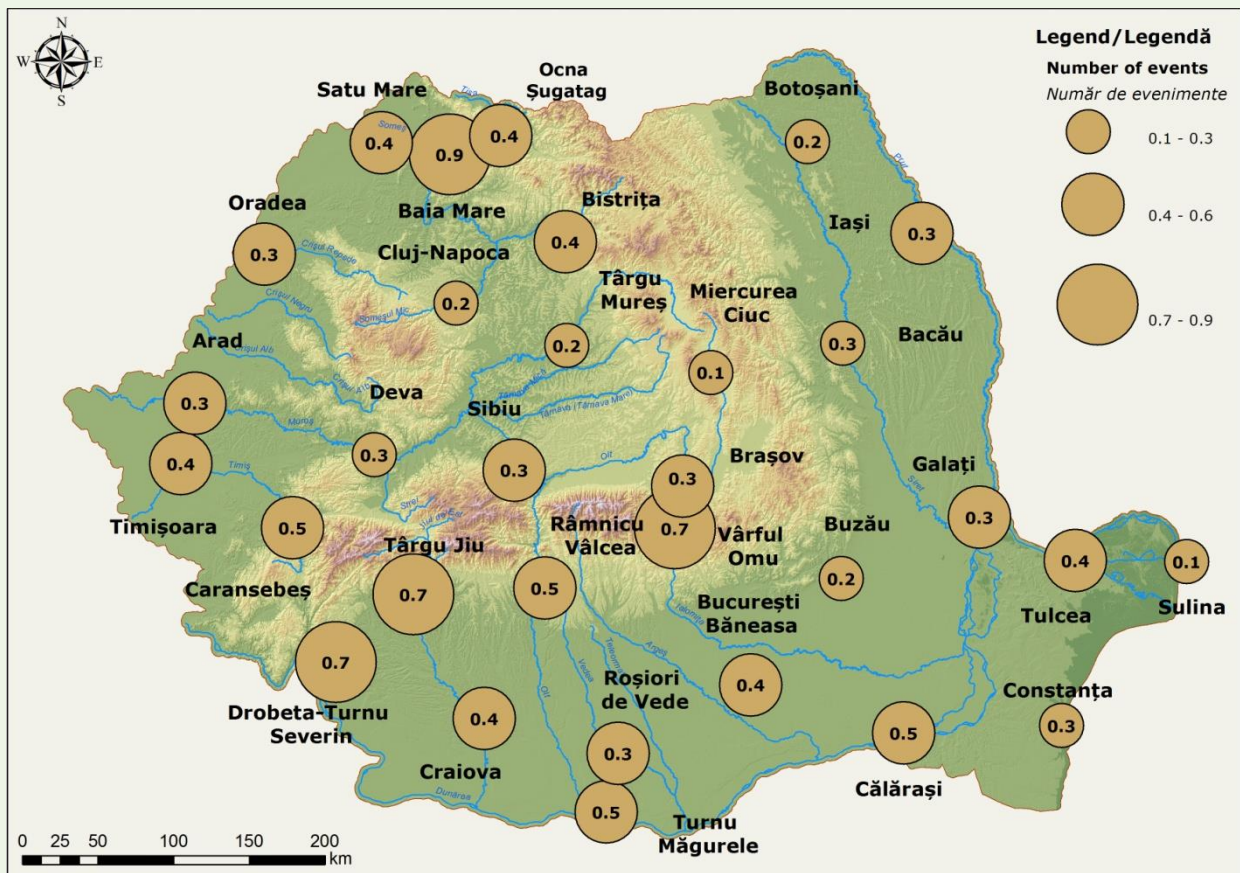


Fig. 3.18. Spatial distribution of the autumn mean number of wet spells detected based on 5 mm threshold
 Distribuția spațială a numărului mediu de perioade ploioase din anotimpul de toamnă detectate be baza pragului de 5mm